

P13-2013-100

Н. А. Кучинский, В. А. Барапов, В. Н. Дугинов, Ф. Е. Зязюля \*,  
А. С. Коренченко, А. О. Колесников, Н. П. Кравчук,  
С. А. Мовчан, А. И. Руденко, В. С. Смирнов,  
Н. В. Хомутов, В. А. Чеховский \*

ИСПОЛЬЗОВАНИЕ КАТОДНОЙ  
ПОВЕРХНОСТИ ДРЕЙФОВОЙ ТРУБКИ  
ДЛЯ СОЗДАНИЯ ТРЕКОВОГО ДЕТЕКТОРА  
С ВЫСОКОЙ ЗАГРУЗОЧНОЙ СПОСОБНОСТЬЮ

Направлено в журнал «Приборы и техника эксперимента»

---

\* Национальный научно-учебный центр физики частиц  
и высоких энергий Белорусского государственного  
университета, Минск

Кучинский Н. А. и др.

P13-2013-100

Использование катодной поверхности дрейфовой трубы  
для создания трекового детектора с высокой загрузочной способностью

Проблема загрузочной способности детекторов является актуальной для физики высоких энергий в связи с постоянным ростом светимости современных ускорительных комплексов. Один из широко используемых трековых детекторов — строу-детектор на основе дрейфовых трубок. Загрузочная способность этих детекторов ограничена параметрами канала регистрации электроники считывания. Традиционным способом повышения загрузочной способности таких детекторов является увеличение их гранулярности (количества каналов регистрации) за счет уменьшения диаметра трубок и/или деления анодной проволочки на две части с целью уменьшения загрузки на канал. Предложен и испытан новый способ создания строу-детекторов с высокой загрузочной способностью, основанный на делении катода каждой трубы на части и независимом считывании информации с каждой из них.

Работа выполнена в Лаборатории физики высоких энергий им. В. И. Векслера и А. М. Балдина ОИЯИ.

Препринт Объединенного института ядерных исследований. Дубна, 2013

Kuchinskiy N. A. et al.

P13-2013-100

The Use of Segmented Cathode of a Drift Tube  
for Designing a Track Detector with a High Rate Capability

Detector rate capability is one of the main parameters for designing a new detector for high energy physics due to permanent rise of beam luminosity of modern accelerators. One of the useful detectors for particle track reconstruction is a straw-detector based on drift tubes. Rate capability of such detectors is limited by the parameters of readout electronics. The traditional method of increasing detector rate capability is increasing their granularity (a number of «elementary» detectors = readout channels) by reducing of the straw diameter and/or by dividing the straw anode wire into two parts (for decreasing the rate per readout channel). A new method of designing straw-detectors with a high rate capability is presented and tested. The method is based on dividing the straw cathode into parts and independent readout of each part.

The investigation has been performed at the Veksler and Baldin Laboratory of High Energy Physics, JINR.

Preprint of the Joint Institute for Nuclear Research. Dubna, 2013

Предложен и испытан новый способ создания строу-детекторов с высокой загрузочной способностью, основанный на использовании широко распространенной методики катодного считывания в газоразрядных детекторах в применении к строу-трубкам. Катод строу-трубки делится на электрически изолированные части с независимым считыванием информации с каждой из них. Применение данного способа позволяет организовать в рабочем объеме одной трубки независимые по съему информации «элементарные детекторы» что, в свою очередь, позволяет обеспечить высокую загрузочную способность строу-трубки в целом. Нет необходимости уменьшать диаметр трубок до минимально возможных значений при создании строу-детектора для больших загрузок или делить анодную проволочку на части, что вызывает технологические и конструктивные трудности. При этом в рабочий объем трубы не вносится дополнительное вещество, ухудшающее «прозрачность» детектора и эффективность регистрации. Данный способ обладает высоким уровнем технологичности.

Детекторы на основе тонкостенных дрейфовых трубок (строу) диаметром от 4 до 10 мм широко используются в настоящее время как координатные детекторы, например, в таких экспериментах как SDC, ATLAS, COMPASS [1–3]. Эти детекторы обладают рядом преимуществ: высоким координатным разрешением (по времени дрейфа), порядка 100 мкм, эффективностью реконструкции треков, близкой к 100 %, загрузочной способностью порядка 500 кГц на канал регистрации, простотой конструкции и, соответственно, более низкой стоимостью. Кроме того, цилиндрическая геометрия трубы обеспечивает хорошие ее механические свойства при малой массе. Каждая трубка является самодостаточной, и при отказе одной из них работа оставшихся не нарушается.

Благодаря этим качествам количество используемых в экспериментах трубок непрерывно увеличивается и достигает, например в ATLAS TRT,  $\sim 300\,000$  шт. [4]. При этом длина их может достигать почти 4 м [5].

В настоящее время в связи с ростом интенсивности современных ускорителей остро ставится вопрос повышения загрузочной способности отдельных детекторов, что достигается либо увеличением их быстродействия, либо уменьшением их размеров. Это относится и к строу-трубкам, где вопрос уменьшения загрузки на канал регистрации решается обычно уменьшением диаметра трубы. Другой подход, предложенный в работе [6], заключается в электрическом разделении анодной проволочки на части и индивидуальном

считывании каждой из них. Такое решение было предложено и реализовано в детекторе TRT [4] эксперимента ATLAS на LHC, где анодная проволочка строу-трубки делилась на два электрически независимых отрезка с помощью стеклянного изолятора длиной около 7 мм и диаметром 0,25 мм. Это позволило в объеме одной строу-трубки иметь два независимых детектора, которые считаются с ее торцов, и снизить загрузку канала регистрации в два раза.

В работах [7, 8] эта идея была развита. Разработаны строу-трубы с разделением анодной проволочки на электрически изолированные отрезки с независимым считыванием сигнала и подачей высокого напряжения через стенку трубы с помощью специально сконструированных спейсеров. При этом длина такого анодного отрезка может быть доведена до нескольких сантиметров [9]. Необходимо отметить, что при таком способе увеличения загрузочной способности строу-детектора теряется одно из основных его преимуществ — «прозрачность» — из-за большого количества вносимого вещества. Кроме того, снижается эффективность регистрации строу-трубы в области спейсеров.

Нами предлагается решить задачу увеличения загрузочной способности строу-трубы путем разделения ее катодной поверхности на электрически изолированные сегменты. При этом сигнал от лавины на анодной проволочке наводится на один или несколько катодных сегментов в зависимости от диаметра трубы, длины сегмента и места лавины относительно линии электрического разделения последних. Таким образом, в объеме одной строу-трубы реализуется несколько условно независимых детекторов. Информация с катодных сегментов используется как для определения радиальной координаты трека частицы по времени дрейфа первичной ионизации, так и для локализации пространственного положения трека вдоль строу-трубы по номеру сработавшего катодного сегмента.

В наших измерениях использовались трубы диаметром 10 мм и длиной 300 мм, сделанные из односторонне металлизированного лавсана (майлара) толщиной 36 мкм. Металлизация двуслойная: медь и золото толщиной 0,05 и 0,02 мкм соответственно. Сопротивление проводящего покрытия 40 Ом/квадрат. Поперечный разрез в металлизации на ленте, из которой изготавливались трубы, делался предварительно. Технология изготовления трубок способом ультразвуковой сварки ленты подробно описана в работе [10].

Трубы, изготовленные с помощью ультразвуковой сварки, имеют более тонкие стенки, чем при использовании традиционной технологии навивания ленты на стержень. Такие трубы выдерживают избыточное давление до 8 атм, в том числе способны работать в вакууме.

На рис. 1 показана форма катодных сегментов на ленте, использовавшейся при изготовлении описываемых в настоящей работе трубок диаметром 10 мм. Длина испытываемых трубок (300 мм) определялась имеющимися механическими устройствами для ее перемещения на испытательном стенде.

Диаметр анодной проволочки — 30 мкм. Использовалась рабочая газовая смесь Ar : CO<sub>2</sub> (70:30) при избыточном давлении 10 мм рт. ст. и рабочее напряжение 3200 В.

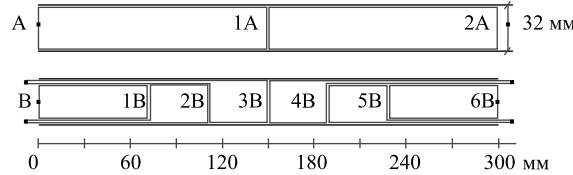


Рис. 1. Развёртка поверхности строу-трубки с двумя (A) и шестью (B) катодными сегментами

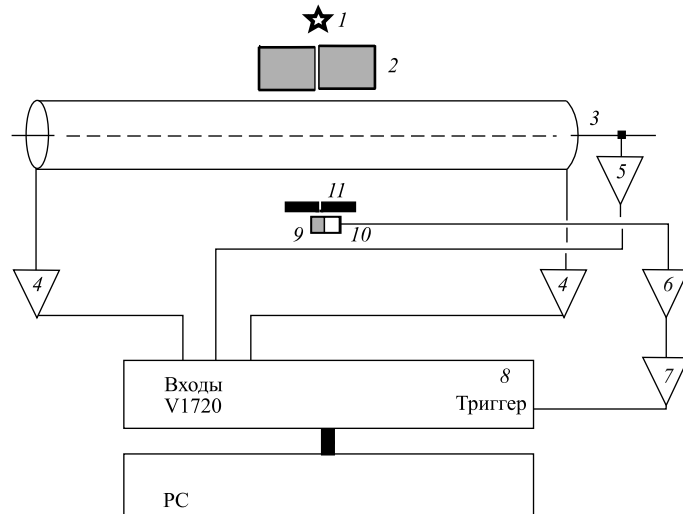


Рис. 2. Блок-схема установки для исследования параметров строу-трубки: 1 — <sup>90</sup>Sr; 2 — щелевой коллиматор (1 мм); 3 — анод (30 мкм); 4 — катодные усилители; 5 — анодный усилитель; 6 — усилитель SiPM; 7 — дискриминатор; 8 — оцифровыватель сигналов в режиме реального времени; 9 — сцинтиллятор 2 × 2 × 5 мм; 10 — SiPM; 11 — щелевой коллиматор (1 × 5 мм)

Схема измерений показана на рис. 2. Источник электронов <sup>90</sup>Sr облучал строу-трубку, которая с помощью прецизионной механической системы перемещалась относительно радиоактивного источника и сцинтилляционного счетчика.

Сцинтилляционный счетчик, использовавшийся для триггера, был изготовлен из сцинтилляционного файбера сечением 2 × 2 мм фирмы BICRON и имел длину 5 мм. Регистрация света производилась с помощью SiPM типа SSPM-0701BG производства Photonique SA [11] с площадью активной зоны

$4,41 \text{ mm}^2$  и числом пикселей 1764. Перед счетчиком установлен свинцовый коллиматор в форме щели размером  $1 \times 5 \text{ mm}$ , ориентированной перпендикулярно к оси трубы.

Катодные и анодные сигналы усиливались соответственно усилителями на микросхемах КАТОД-1 [12] и Ampl. 8.3 [13] и оцифровывались в режиме реального времени диджитайзером V1720 (CAEN, 250М, 12Bit) [14]. Далее информация передавалась для обработки в компьютер.

Нами были созданы и испытаны строу-трубы с двумя и шестью катодными сегментами (см. рис. 1) и выводом сигналов с сегментов на торцы трубок с помощью полосковых линий (на их внутренней металлизированной поверхности).

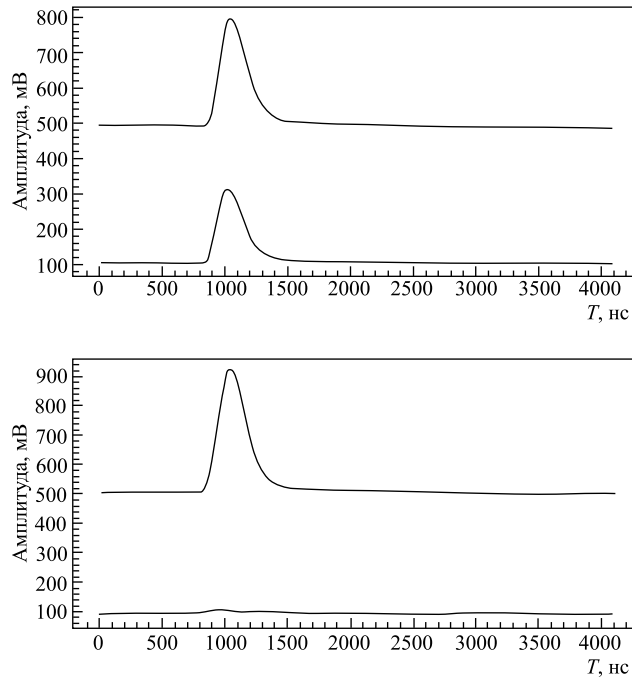


Рис. 3. Примеры формы сигналов с катодных сегментов 1A и 2A. Вверху — событие в зоне электрического разделения сегментов, внизу — событие в центре одного из сегментов

Для трубы с двумя катодными сегментами на рис. 3 показаны типичные формы сигналов с двух сегментов для события в районе электрического разделения сегментов (вверху) и события на одном из сегментов (внизу). Кривая эффективности для этой трубы в зависимости от продольной координаты ( $z$ ) дана на рис. 4. Катодный сегмент считался сработавшим, если амплитуда сигнала с него превышала величину 25 мВ.

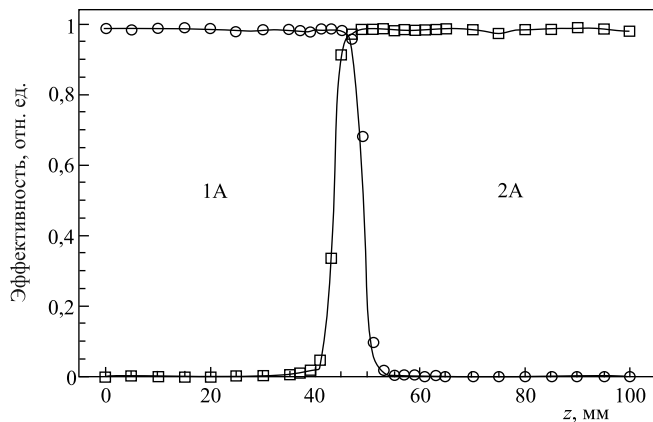


Рис. 4. Эффективность регистрации катодных сегментов 1А и 2А для строу-трубки с двумя сегментами в зависимости от положения  $^{90}\text{Sr}$  вдоль анода. Порог дискриминации сигналов — 25 мВ. HV = 3200 В

Результаты измерения эффективности и средней амплитуды сигналов от продольной координаты для трубки с шестью катодными сегментами приведены на рис. 5. Просканирована область строу-трубки длиной 100 мм ( $Z = 75\text{--}175$  мм) с катодными сегментами 1В—4В (см. рис. 1, В). Уровень дискриминации для сигналов с сегментов составлял величину 50 мВ. Данный порог был выбран из измерения зависимости эффективности срабатывания катодного сегмента от порога дискриминации (рис. 6) и формы амплитудного спектра с сегмента (рис. 7).

Большой интерес представляет исследование возможности использования сигнала с катодных сегментов для определения радиальной координаты трека частицы по времени дрейфа. Для этого было проведено измерение временного спектра при использовании анодных или катодных сигналов относительно сцинтилляционного триггера. Результаты приведены на рис. 8. Видно, что формы временных спектров для сигналов с катодного сегмента и анода похожи, что подтверждает возможность точного измерения координаты трека частицы по времени дрейфа с помощью катодных сигналов.

Таким образом, показана возможность создания строу-трубки с дроблением ее по длине на отдельные катодные сегменты, с каждого из которых сигналы снимаются независимо. При этом в случае неравномерной загрузки строу-трубки по ее длине возможно выравнивание загрузки между катодными сегментами путем соответствующего разбиения трубы по длине.

Как было сказано выше, в тестируемых нами трубках сигналы с внутренних катодных сегментов выводились на торцы трубы с помощью полосковых линий шириной 1,0 мм, созданных на внутренней металлизированной поверхности. Очевидно, что число таких линий не может быть большим.

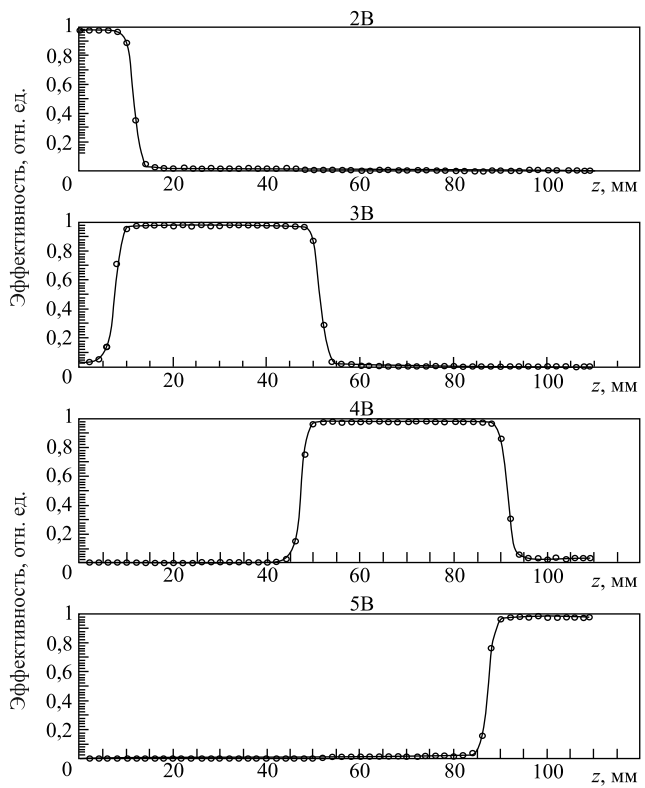


Рис. 5. Эффективность регистрации катодных сегментов 2В–5В для строу-трубки с шестью сегментами в зависимости от положения  $^{90}\text{Sr}$  вдоль анода. Порог дискриминации сигналов — 50 мВ. HV = 3200 В

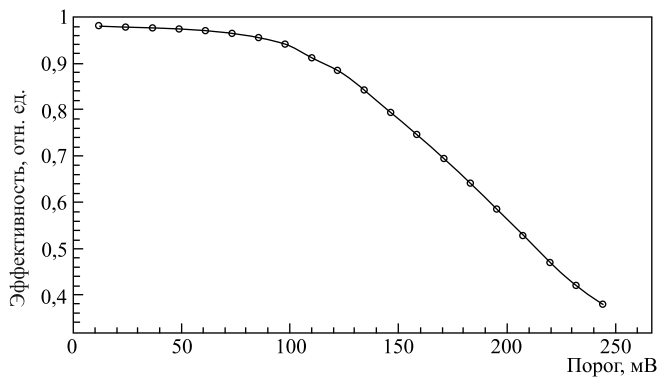


Рис. 6. Эффективность регистрации с одного из катодных сегментов трубы В в зависимости от порога дискриминации. HV = 3200 В

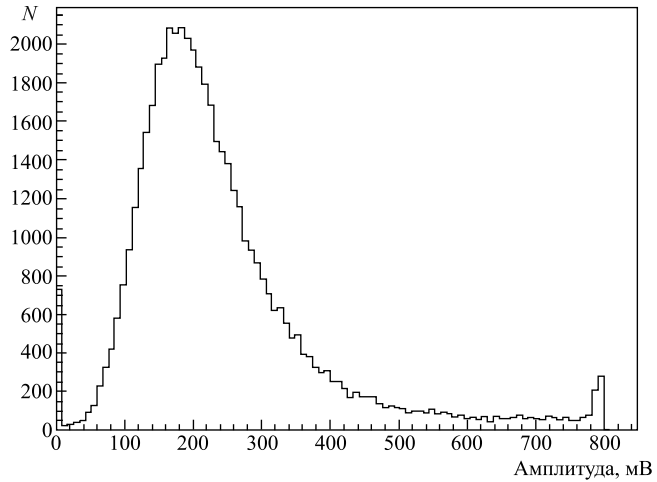


Рис. 7. Амплитудный спектр сигналов для одного из катодных сегментов трубки В.  
HV = 3200 В

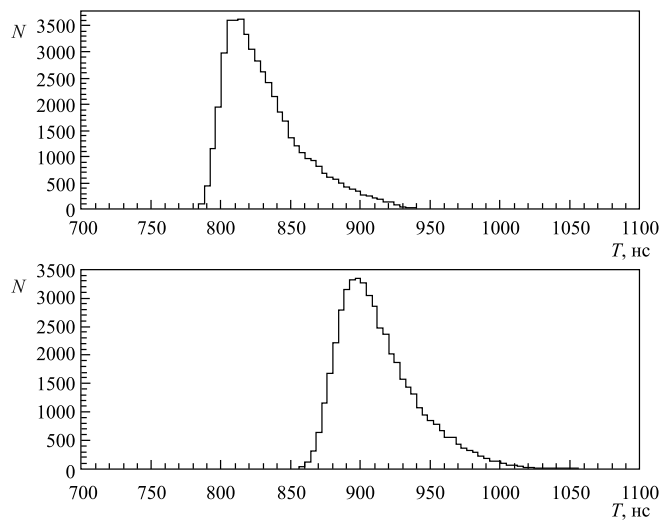


Рис. 8. Временной спектр сигналов с анода (вверху) и с катодного сегмента строутрубки В (внизу)

Проблема вывода катодных сигналов при числе сегментов больше шести может быть решена с помощью отверстий в стенке трубы. С помощью проводящего клея, например, обеспечивается электрический контакт между внутренним катодным сегментом и контактной площадкой на внешней стороне трубы. Электрические контакты и катодные сегменты делаются на ленте на подготовительном этапе, до производства строутрубок. Наличие контактных

площадок на внешней стороне трубы открывает широкие возможности для различных вариантов считывания информации с катодных сегментов.

Преимуществами предложенного нами способа повышения загрузочной способности строу-трубок с помощью использования катодных сегментов являются сохранение их высокой «прозрачности» для частиц, возможность получения сразу двух координат трека частицы и высокая технологичность изготовления строу-трубок такого типа. При этом некоторый недостаток, присущий трубкам, изготовленным методом продольной ультразвуковой сварки пленки, такой как наличие полоски без металлизации вдоль сварочного шва, не оказывается на работе трубы и точности измерения координаты трека частицы.

### ЗАКЛЮЧЕНИЕ

Предложен и испытан способ увеличения загрузочной способности строудетектора за счет разбиения на электрически изолированные части катодной поверхности строу-трубок с независимым считыванием каждой из них. Такой подход отличается высокой технологичностью и сохраняет все преимущества, присущие строу-детектору. Строу-трубы указанного типа могут изготавливаться, например, из ленты с предварительно «нарисованными» катодными секторами и полосковыми линиями для вывода сигналов методом продольной ультразвуковой сварки.

Работа выполнена при поддержке гранта РФФИ 13-02-00745 и гранта Белорусский ФФИ – ОИЯИ 2013 г.

### ЛИТЕРАТУРА

1. *Arai Y. et al.* // Nucl. Instr. Meth. A. 1996. V. 381. P. 355–365.
2. CERN/LHCC/97-16. 1997. V. I, II.
3. *Abbony P. et al.* // Nucl. Instr. Meth. A. 2007. V. 577. P. 455–518.
4. ATLAS ID TRT. CERN/LHCC/97-17. 1997. V. 2.
5. *Bychkov V. N. et al.* // Nucl. Instr. Meth. A. 2006. V. 556. P. 66–79.
6. *Oh S. H., Wang C. H., Ebenstein W. L.* // Nucl. Instr. Meth. A. 1999. V. 425. P. 75–83.
7. *Davkov K. et al.* // Nucl. Instr. Meth. A. 2008. V. 584. P. 285.
8. *Bazylev S. N. et al.* // Nucl. Instr. Meth. A. 2011. V. 632. P. 75.
9. *Davkov V. et al.* // Part. Nucl., Lett. 2007. V. 4(140). P. 545–551; arXiv:physics/0701133.
10. *Ambrosino F. et al.* TDD NA62-10-07. 2010. P. 258–261.
11. <http://www.photonique.ch>
12. *Golutvin I. A. et al.* JINR Preprint E13-2001-151. Dubna, 2001.
13. *Alexeev G. D et al.* // Nucl. Instr. Meth. A. 2001. V. 462. P. 494.
14. CAEN Electronic Instrumentation, 2010. Products Catalog, V1720.

Получено 5 сентября 2013 г.

Редактор *М. И. Зарубина*

Подписано в печать 18.03.2014.

Формат 60 × 90/16. Бумага офсетная. Печать офсетная.  
Усл. печ. л. 0,69. Уч.-изд. л. 0,85. Тираж 265 экз. Заказ № 58213.

Издательский отдел Объединенного института ядерных исследований  
141980, г. Дубна, Московская обл., ул. Жолио-Кюри, 6.

E-mail: [publish@jinr.ru](mailto:publish@jinr.ru)  
[www.jinr.ru/publish/](http://www.jinr.ru/publish/)